

Поляризоване світло: отримання, властивості.

аналіз, використання

Поляризатори - пристрій для перетворення природного або частково поляризованого світла в лінійне поляризацію.

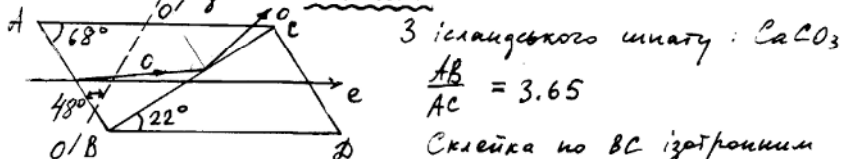
Поляризатори і аналізатори.

За принципом дії: 1) відбивання під кутом бровстера; 2) залишене світло - частково поляризоване \Rightarrow Стола Столєтова; 3) зваже дихроїзму в деяких ізотропних середовищах (шлівах) - колерайди; 4) поляризаційні призми, основані на зміні двопроменевого заломлення.

Поляризаційні призми

однопроменеві:

Першу поляр. призму винайшов Ніколс (1828р.). На їїго честь названа ніколем.

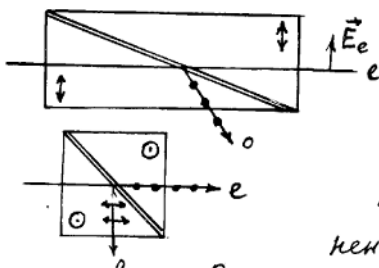


Складка по ВС ізотропним

Для "0" променя виконуються канадським бальзамом $n = 1.550$ умови подилю відбиття ($n_0 > n$) де $\lambda = 589 \text{ нм}$

Для "e" променя ($n_e < n$) - ПВВ немає.

Призма Глана (Глана-Фукса)



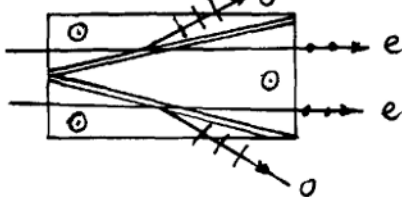
$n_e < n_{\text{скл}} < n_0$
в якості склів - глицерін (44),
канадський бальзам (відносне світло),
Масло, повітря.

кут падіння на поверхню розрізу повинен бути більшим за граничний кут ПВВ.

Різниця кутів нахилу між крайніми променями падаючого пучка, які задовільняють такі умови, визначає апертуру повної поляризації призми.

Для призми Фукса умови ПВВ виконуються для "0" і для "e" променів! $n_0 < n_e < n_0$. Тому призму Фукса буде коротшою для того, щоб кут падіння "e" променя на поверхню був меншим від граничного кута ПВВ, а для "0" променя - більшим за цього. При цьому апертура повної поляризації становить всього 8° .

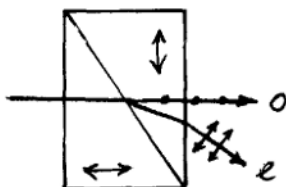
Призма Аренса



Використовується для кіг-
світки в поляриз. мікроско-
пах: дає широкий промінь.

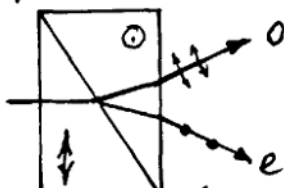
Б) двохраменеві поляризаційні призми:

Призма Томсона



„O“ промінь - ахроматичний
Кут відхилення „e“ променя
залежить від колору світла.

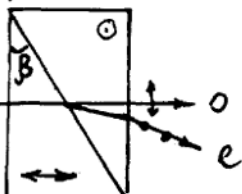
Призма Волластона



Принципи на виході -
симетричні

Через те, що $O O'$ в різних по-
ловинах призми перпендику-
лярні, промінь звичайний в
I половині стає незвичайним
в II половині призми.

Призма Ромека



„e“ промінь виходить під кутом
 $\theta = (n_o - n_e) \cdot \operatorname{tg} \beta$

Призма, яка виготовлена із скла та ісландськ. шпату

Близькість показників заломлення
скла (1.49) та $n_e = 1.486 \Rightarrow$ промінь
проходить через призму практично не
загомлюючись; Потім $\approx n_e$

Матеріали для пілоризаційних призм:

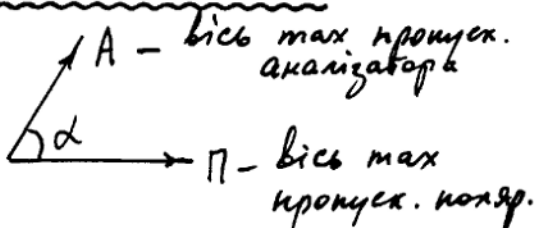
ісландський шпат, кварц, турмалін

Турмалін: - бід'ємний кристал, одновісний;
- має сильне селективне поглинання одного з променів (звичайного). Для дрібни з кристала виходить практично один (незвичайний) промінь - дихроїзм.

Характеристики пілоризаційних призм

- 1) з якого матеріалу зроблена (це визначає спектр. область);
- 2) коеф. пропускання ($T \approx 40\%$; $T_{\max} = 50\%$);
- 3) ступінь поляризації ($P \approx 98\%$);
- 4) апертура - мах кут розходження надаючого променя, коли призма дає 100% теоретичну ступінь поляризації.

Закон Малюса



$$I_{np} = I_0 \cos^2 d$$

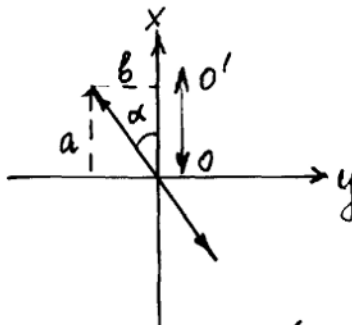
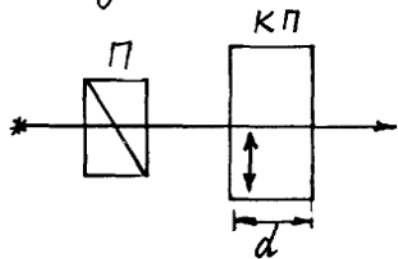
I_0 - інтенс. лін. поляр. світла, що виходить з поляризатора;

I_{np} - інтенс. світла, що виходить з аналіз.

Якщо на поляризатор надає природне світло з інтенс. I_{Bx} , то після аналізатора $I_{np} = \frac{1}{2} I_{Bx} \cos^2 d$

Взаємодія ортогонально перетинованих променів.

Фазові плоскості



В КП "o" і "e" промені проходять в одному напрямку, але з різними швидкостями.

Після П площини комбайн \vec{E} утворює кут α з $00'$. Ампл. звук. хвилі $a = A \cdot \cos \alpha$ де A - ампл. комбайн. незвук. хвилі $b = A \cdot \sin \alpha$

$$\Delta = (n_o - n_e) \cdot d$$

$$\varphi = \frac{2\pi}{\lambda} (n_o - n_e) \cdot d$$

На виході з КП : $x = a \cdot \cos \omega t$; $y = b \cdot \cos(\omega t - \varphi)$

$y = b (\cos \omega t \cdot \cos \varphi + \sin \omega t \cdot \sin \varphi)$ та $\cos \omega t = \frac{x}{a}$ (1)

$$y = b \left(\frac{x}{a} \cos \varphi + \sin \omega t \cdot \sin \varphi \right)$$

$$\sin \omega t \cdot \sin \varphi = \frac{y}{b} - \frac{x}{a} \cos \varphi \quad (2)$$

Підносимо до квадратів (1) та (2) та додамо их:

$$\cos^2 \omega t \cdot \sin^2 \varphi = \frac{x^2}{a^2} \cdot \sin^2 \varphi$$

$$\frac{x^2}{a^2} + \frac{y^2}{b^2} - \frac{2xy}{ab} \cdot \cos \varphi = \sin^2 \varphi$$

Регульоване комбайн на після КП буде стінгування.

Форма і орієнтація елінсу залежать від α і φ .

Світло після КП - елінтично перетиноване.

$\lambda/4$ - фазова ширина

Іншо твердження є плагіївки задовільне умові
 $(n_0 - n_e) \cdot d = \lambda/4$ або $(n_0 - n_e) d = (m + \frac{1}{4}) \lambda$

де m - ціле число, то $\varphi = \frac{\pi}{2} + 2m\pi$

Тоді рівняння еліпса набуває вигляду

$$\frac{x^2}{a^2} + \frac{y^2}{b^2} = 1 \quad \text{тобто вони збігають.}$$

Інакше при умові $d = 45^\circ$, то $a = b$ і $x^2 + y^2 = a^2$.

В цьому випадку світло поляризується по кругу (круг).
 Погрібно, щоб діставалась дві колеподійні хвилі з однаковими амплітудами, поляризовані у відношенні перпендикулярних площин з різними фазами, що дорівнює $\frac{\pi}{2}$.

В залежності від того, компонента відповідних векторів є відповідною компоненту відповідних векторів відповідної на $\frac{\pi}{2}$ за фазою, кажуть про обертання результируючого вектора проти годинникової стрілки або за нею. Розрізняють ліву і праву кругову (еліптичну) поляризацію.

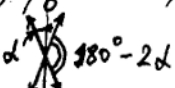
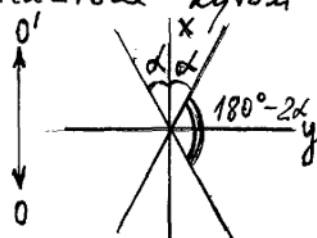
$\lambda/2$ - фазова ширина

Твердження є підтверджено так, що $(n_0 - n_e) \cdot d = \frac{\lambda}{2}$ або
 $(n_0 - n_e) \cdot d = (m + \frac{1}{2}) \lambda \Rightarrow \varphi = \pi$.

При умові, що $\varphi = \pi$ еліпс вироджується в прямі, що збігаються: $\left(\frac{x}{a} + \frac{y}{b}\right)^2 = 0$

$$y = -\frac{b}{a} \cdot x$$

Світло залишається лінійно поляризованим, але
 орієнтація площини коливань \vec{E} змінюється від
 такої, яка визначається кутом α , до такої, що
 визначається кутом $180^\circ - 2\alpha$



Фазова плоскість у чисі довжини хвилі задовільняє умову $(n_0 - n_e) d = \lambda$ або $(n_0 - n_e) d = m\lambda$, що дає $\varphi = 2\pi$. При цьому еліпс вироджується у пряму

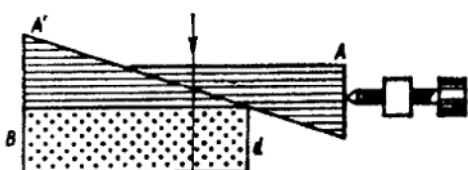
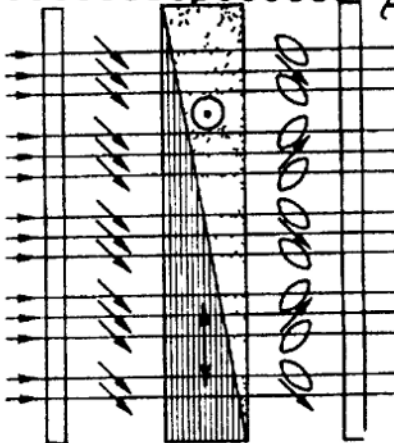
$$\left(\frac{x}{a} - \frac{y}{b}\right)^2 = 0 \Rightarrow y = \frac{b}{a} \cdot x$$

Світло залишається лінійно поляризованим без зміни площини поляризації.

Аналіз стану поляризації

Треба відійти від розрізного і вимірюти параметри: лінійно поляризованого світла, циркулярно-та еліптично поляризованого, світла природного та циркулярно поляр.,

Компенсатор Бабіне } еліптично-та частково-поляр.



компенсатор Солейля

$(d_1 - d_2)$ - вимірюємо; $\Delta\varphi$ - знаходимо

2 клина, виготовлені із кварцу
із взаємно перпендикул. ОО'

Промінь світла проходить
в клинах різкі шляхи: d_1
та d_2 . Звичайний промінь
 I клину стає незвичай-
ким променем II клину.
і навпаки. Додаткова різни-
ца ходу $\Delta = (n_0 - n_e) d_1 +$
 $+ (n_e - n_0) d_2 =$
 $= (n_0 - n_e) (d_1 - d_2)$

$$\Delta\varphi = \frac{2\pi}{\lambda} (n_0 - n_e) (d_1 - d_2)$$

$(n_0 - n_e)$ - задумовано;

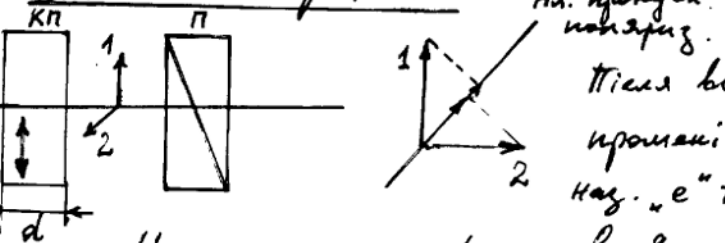
Інтерференція лінійко поляризованих хвиль

Якщо хвилі поляризовані ортогонально, то вони ніколи не можуть утворити інтерференційну картину.

Тоді: „e“ та „o“ промені, які зумовлюють різницю фаз, не можуть інтерферувати між собою та, що $E_o \perp E_e$, хоча $\Delta\phi = \text{const.}$

Де набіг фаз цих „e“ та „o“ променів в апіздр. кристалі, не змінюючи інтенсивності, виникає їх колоризація променя на виході. Зміну поляризації за допомогою аналізатора можна трансформувати в зміну інтенсивності.

Схема спостереження



н. пропуск.
поляриз.

Після виходу із КП
промені відхилені право
наз. „e“ та „o“: стали 1 та 2

Напрямок коливань в двох променях, спогадуючи поляризованих у взаємно перпендикулярних напрямках, можна звести в одну площину за допомогою поляризатора, площину якому скажи якщо не співпадає з площинами коливань кількох із променів.

- 1) Якщо на КП надає цирордне світло, то вони на виході КП дають не когерентні промені (інтерферувати вони не можуть);
- 2) Якщо на КП надає лін. колер. світло, то промені 1 та 2 - когерентні.

Пояснення: ... Дав. Савельев... § 31 (c. 172)

Після КП світло буде еліптичо-поларизованим.

Форма і орієнтація еліпса залежить від повітряни (d). Якщо КП в різних місцях має різну повітряні, то для кожної з цих повітрян (d_i) буде своя форма еліпса.

При цьому інтенсивність світла, що проходить через КП в різних її місцях, — однакова. Але такий розподіл різко змінює після проходження світлом поляризатора П. Цей поляризатор пропускає тільки ті екладові променів 1 та 2, які сивішають з напрямком пропускання П.

Якщо світло, яке падає на КП, монохроматичне, то інтерф. картина після П складається із світлих і темних плям, які відповідають різним повітрянам КП.

При обертанні П на 90° місце мікроскопів замінюються, і навпаки.

У більшій світлі інтерф. картина буде колоровою ($n(\lambda)$). При обертанні П на 90° колори картини переходять у додаткові: сірь \rightarrow голубе; зелен \rightarrow фіол.; синє \rightarrow хвіст.

Ультрафіолетії не буде, якщо поляризація одною з променів (1 або 2) сивішає з площинкою пропускання поляризатора П.

Якщо на КП направити неполяризоване світло або забрати поляризатор (аналізатор), то інтерф. картина зникає.

Якщо у засобі екрана використано не амплітудно-гучну фоторелейку, а середовище, гучніше до поляризації (що краще до фази) хвилі, то інтерф. — без П!

Оптична активність

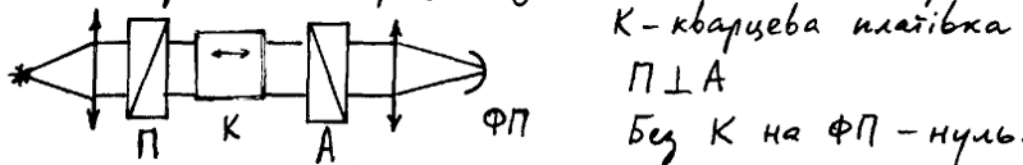
О. а. - природна (не штучна).

О. а. \equiv гіротропія.

О. а. \equiv обертання площини поляризації світла при проходженні світла крізь певні речовини.

Такі речовини наз. гіротропними, або природно активними. Ух гіротропні властивості поб'єдні (викликані структурою) із структурою молекул або кристаліческих н. д. речовин, розчині і кристали.

Водний розчин цукору та кварцу. Кварц - кристалічний (не плавлений). Кварц - анизотропний одновісний кристал і, разом з тим, оптично акт. кристал.



K - кварцева плівка

$\Pi \perp A$

без K на ФП - нуль.

Якщо в схему вставити K, то на ФП з'являється сигнал, який можна скомпенсувати (випирети) актиuatorом A.

$$\Delta\varphi = \alpha_0 \cdot d \quad \alpha_0 - \text{обертельна здатність}.$$

Для кварцу $\alpha_0 = 21,7\%$ при $\lambda = 560\text{ нм}$

$$\alpha_0 \sim \frac{1}{\lambda^2} - \text{сильна залежність}: \Delta\varphi_{\text{квар.}} = 20^\circ$$

Кварц має дві модифікації: $\Delta\varphi_{\text{флю.}} = 50^\circ$

"правий кварц" та "лівий кварц"

О. а. рідини. біо встановив, що $\varphi = [\alpha] \cdot d \cdot c$

$[\alpha]$ - стала обертання; c - концентрація розчину.

Для водних розчинів цукору при $t = 20^\circ\text{C}$; $\lambda = 5893\text{ \AA}$

$$[\alpha] = 66.46^\circ$$

Оптична активність як особливий випадок двопроменевозаломлення. (Теорія Френеля)

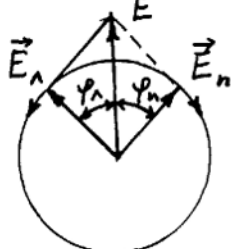
За Френелем існує n_s та n_g (n_s та n_n)

$\Delta n = n_n - n_s$ — різниця пок. захоплення для кружового (циркулярного) двопроменевозаломлення.

Будь-яке лін. коливання можна представити у вигляді суми 2-х кружових коливань:

$$\left. \begin{array}{l} E_x = E_0 \cos \omega t \\ E_y = E_0 \sin \omega t \end{array} \right\} \Rightarrow E_n = E_x + iE_y \quad \text{ліва обертання}$$

$$\left. \begin{array}{l} E_x = E_0 \cos \omega t \\ E_y = -E_0 \sin \omega t \end{array} \right\} \Rightarrow E_n = E_x - iE_y \quad \text{праве обертання}$$



$|E| = \text{const}$ — середовище

не можна

$$\left\{ \begin{array}{l} E_n = E_0 e^{i\omega t} \\ E_n = E_0 e^{-i(\omega t - \Delta\varphi)} \end{array} \right.$$

$$n_s = n_n$$

$$n_s \neq n_n \quad (n_n < n_s)$$

$$v_s = v_n$$

$$v_n > v_s$$

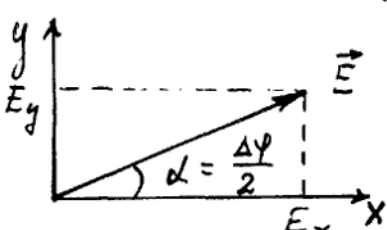
$$\varphi_s = \varphi_n$$

$$\Delta\varphi = \varphi_n - \varphi_s$$

$$E_s + E_n = E_0 e^{i\omega t} + E_0 e^{-i(\omega t - \Delta\varphi)} =$$

$$= e^{i\frac{\Delta\varphi}{2}} \cdot E_0 \left[e^{i(\omega t - \Delta\varphi/2)} + e^{-i(\omega t - \Delta\varphi/2)} \right] =$$

$$= 2E_0 e^{i\frac{\Delta\varphi}{2}} \cdot \cos \left(\omega t - \frac{\Delta\varphi}{2} \right)$$



$$\left\{ \begin{array}{l} E_x = 2E_0 \cos \frac{\Delta\varphi}{2} \cos \left(\omega t - \frac{\Delta\varphi}{2} \right) \\ E_y = 2E_0 \sin \frac{\Delta\varphi}{2} \cos \left(\omega t - \frac{\Delta\varphi}{2} \right) \end{array} \right.$$

Кут повороту (α) залишив більш різни-
ці фаз ($\Delta\varphi$)

Фаза „правої” хвилі $\varphi_n = \omega t - \frac{2\pi}{\lambda_0} n_n \cdot d$

Фаза „лівої” хвилі $\varphi_\lambda = \omega t - \frac{2\pi}{\lambda_0} \cdot n_\lambda \cdot d$

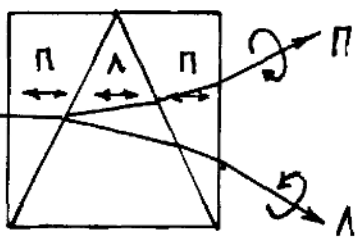
$$\Delta\varphi = \varphi_n - \varphi_\lambda = \frac{2\pi}{\lambda_0} (n_\lambda - n_n) d = \frac{2\pi}{\lambda_0} \cdot c \left(\frac{1}{v_n} - \frac{1}{v_\lambda} \right) \cdot d$$

$$d = \frac{\Delta\varphi}{2} = \frac{\pi}{\lambda_0} (n_\lambda - n_n) \cdot d$$

Якщо $n_\lambda > n_n \Rightarrow v_\lambda < v_n$ — правий кристал

Якщо $n_\lambda < n_n \Rightarrow v_\lambda > v_n$ — лівий кристал

Френелль перевірив своє пристягнення за допомогою досліду з призмою Френеля:



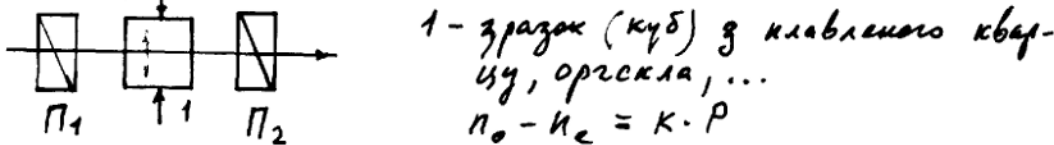
Складна призма із 3-х кусків кварцу ($n=1.57$).

Об'єднання 3-х кусків 11 осів призми, щоб не було прямодн. флюїформенозахиси.

На границі I i II призм промінь роздвояється через те, що $n_\lambda \neq n_n$. Теж саме на границі II i III призм. На виході — 2 промені з лівого та правої піркув. можуть розійтися.

Штучна оптика аїзотропії

Аїзотропія при механічній напрузі (фотодужкість)



K - стала Брюстера (константа розкидання)
 $P = F/S$ - тиск

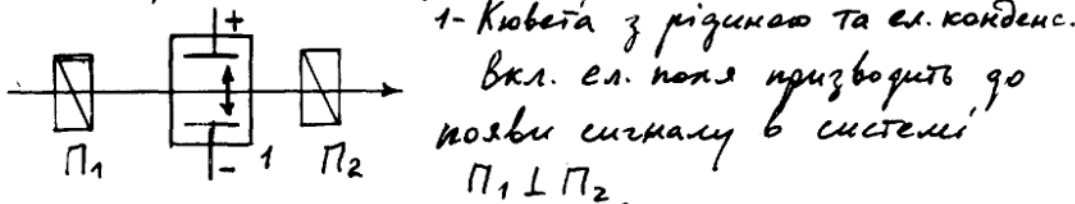
Тиск (стискання або розтяг) м.б. зробленою \Rightarrow

зразок стає оптикою з двоісником

Використовується для вивчення залишкових шар. напруг в ізотропих тілах (кінескопи, лампи тощо).

Для непорогових конструкцій - моделювання з певним коефіцієнтом подібності.

Аїзотропія в електричному полі (ефект Керра)



Оптична вісс наприміщення відповідь силових ліній ел. поля.

Е рідини з $n_e > n_0$; $n_e < n_0$; $n_e = n_0$ (ефект Керра немає) - експеримент.

$$\Delta n = B \cdot \lambda \cdot E^2 \Rightarrow \Delta = l \cdot \Delta n \Rightarrow \Delta \varphi = k \cdot \Delta$$

Через те, що $\Delta n \sim E^2$, знак різниці фаз не залежить від напрямку ел. поля.

а) Для неполярних рідин (теорія Ланжевена) величина коеф. Керра $B > 0$. - додатній, квазикристал).

5) Для непорушних рідин (теорія Барка, 1915 р.):

Диполі орієнтується по напрямку: $P = \alpha E$

Для кітровензому $B = 2.2 \cdot 10^{-5}$ CGSE ($B > 0$)

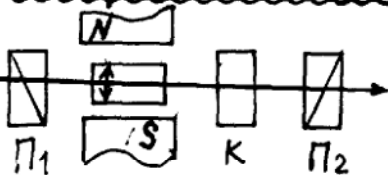
Две кювети з $l = 5$ см, $d = 1$ мм, $U = 1500$ В \Rightarrow

$$\Delta\varphi = \frac{\pi}{2} ! \quad (\frac{\lambda}{4} \text{ пасивка} !)$$

Час переміщення дзе кітровензому $\approx 0.5 \cdot 10^{-11}$ с

Акізетронія в магнітному полі (ефект Котока -

Мутона)



К-компенсатор (для зас-
тіжки зсуву фаз)

$$\Delta n = D \cdot B^2$$

$$\Delta\varphi = \frac{2\pi}{\lambda} \cdot \Delta n \cdot l = 2\pi C_0' \cdot l \cdot B^2$$

B - м. індукція; C_0' - стала Котока -

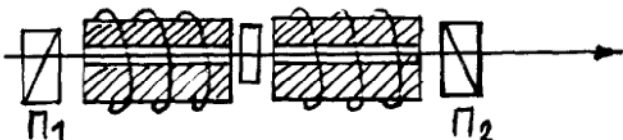
Мутона, яка залежить від природи речовини.

Для кітровензому $C_0' = 2.25 \cdot 10^{-2}$ м⁻¹ Тл⁻².

Дов $B = 1$ Тл та $l = 1$ м $\Rightarrow \Delta\varphi = 0.14$ рад.

Ефект Фараоля (1846 р.)

В неперевінчих електродах був індуктований зсув фаз (ефект двопроменевозахислення). В ЕФ - одержані клющими поляризації: $\Delta\theta = V \cdot l \cdot B$



V - стала Варде;
 l - довжина злізка;
 B - індукція магнітного поля.

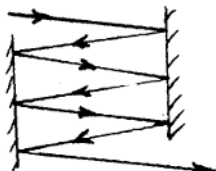
Е речовини з $V > 0$ (правообертальні, або позитивні). Речовини з $V < 0$ - лівообертальні (негативні). біг'єнні

Наприклад одержані площини поляризації в ЕФ для кожної резонансної визначається лише напрямом магнітного поля і не залежить від напряму світла.

Час занесення (інерція ЕФ) - $\sim 10^{-9}$ с.

Підсилення ЕФ шляхом багаторазового проходження світлом роботого зонду:

$$\text{Стала Верде } V \sim \frac{1}{\lambda^2}$$



Для спек. скла - важко
фільтр $V = 0.08 \text{ см}^{-1}$. Ераст

Схема аналізу стану поляризації світлового променя

